



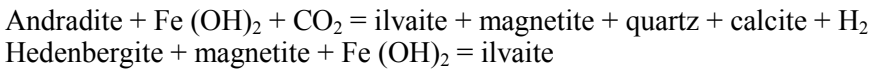
کانی‌شناسی، ژئوشیمی و سنگ‌زایی اسکارن منطقه‌ی زرو (شمال غربی استان یزد)

محمدعلی مکی‌زاده^{*۱}، محمد رهگشای^۱، بتول تقی‌پور^۳، صدیقه تقی‌پور^۴

- ۱-دانشکده علوم زمین، دانشگاه شهید بهشتی
- ۲-گروه زمین‌شناسی، دانشکده علوم، دانشگاه اصفهان
- ۳-بخش علوم زمین، دانشکده علوم، دانشگاه شیراز
- ۴-دانشکده زمین‌شناسی، پردیس علوم، دانشگاه تهران

(دریافت مقاله: ۸۸/۴/۲۲، نسخه نهایی: ۸۸/۱۰/۲۲)

چکیده: اسکارن زرو در شمال غربی استان یزد در کمربند ماگمایی سنوزوئیک ایران مرکزی قرار دارد. گستره‌ی سنگ‌های این منطقه، سنگ‌های آتشفشنای اوسن همراه با توده‌ی نفوذی گرانیتوئی است. سنگ آهک‌های سازند تفت (کرتاسه زیرین) در غرب منطقه‌ی زرو، میزبان اسکارن و مرمر زائی با کانی‌سازی مس و به دور از توده‌ی نفوذی هستند. کلینو پیروکسن، گارنت، ایلوائیت (ilvaite) و زوویانیت، ترمولیت، اپیدوت، کالکوپیریت، مگنتیت، کلسیت و کوارتز از مجموعه کانی‌های مشاهده شده هستند. روابط پاراژنتیکی این کانی‌ها یک خاستگاه چندزادی را برای مجموعه اسکارنی نشان می‌دهد. بلورها و توده‌های سیاه رنگ ایلوائیت همیافتی نزدیکی را با زون کلینوپیروکسن (هدنبرژیت) و گارنت (آندرادیت) دارند، احتمالاً این همیافتی جانشینی را نشان می‌دهد. شکل‌گیری ایلوائیت با واکنش زیر امکان‌پذیر است:



کانی‌های اولیه اسکارن زرو در دمای 550°C شکل گرفته‌اند. دگرسانی کانی‌های بی آب و ساخت مجموعه‌های کانی‌ای آبدار از دمای تقریبی زیر 470°C در فوگاسیته بالای اکسیژن شروع شده است.

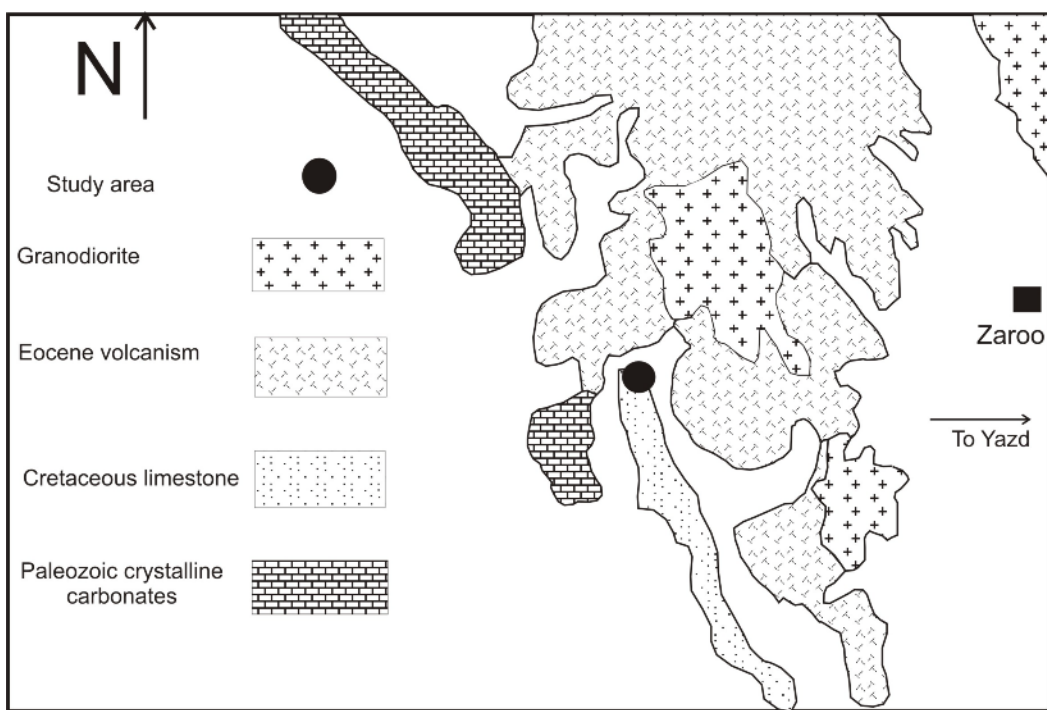
واژه‌های کلیدی: اسکارن، زرو، ایران مرکزی، پیروکسن، گارنت، ایلوائیت، مگنتیت.

مس (Cu) را نشان می‌دهد. گدازه‌های آندزیتی که به وسیله‌ی شاخه‌های دایک مانند تاخیری با ترکیب اسیدی و لوکوگرانیت و دایک‌های بازی قطع شده‌اند، منحصرًا در شرق منطقه دیده می‌شوند. مجموعه‌ی این سنگ‌های آتشفشنای به وسیله توده‌های نفوذی کوچک گرانیتی - گرانودیبوریت، دیبوریت و میکرونودیبوریت قطع شده است. برداشت‌های صحرایی تاکنون هیچ ارتباطی را بین اسکارن - مرمر با نفوذی‌ها و سنگ‌های آذرین منطقه به دست نشان نداده است.

نزدیک‌ترین رخنمون رخنمون توده‌های نفوذی در ۵ کیلومتری شرق منطقه است. بنابراین بنا بر الگوی ارائه شده این اسکارن‌ها از نوع دور از توده‌ی نفوذی هستند.

زمین‌شناسی منطقه مورد مطالعه
 برپایه‌ی نقشه زمین‌شناسی آباده [۱] و برداشت‌های صحرایی، قدیمی‌ترین واحدهای سنگ‌شناسی وابسته به پالنوزوئیک (۲) در شرق منطقه (مشرف به فرورفتگی زمین‌ساختی گاوخونی - طاقستان) رخنمون دارند و شامل شیوه‌های پلیتی، آهک‌ها، دولومیت‌های متبلور و کوارتزیت‌اند (شکل ۱). سازند تخریبی سنگ‌ستان متشكل از ماسه سنگ و کنگلومرا و در پی آن سنگ‌های آهکی موسوم به سازند تفت به صورت ارتفاعات کشیده با راستای شمال غربی - جنوب شرقی در مجاورت گسلی همراه با واحدهای دیگر مشاهده می‌شوند. مرمرسازی و اسکارن‌سازی در سازندهای کربناتی این منطقه دیده می‌شود که آثار حفاری‌های معدنی (تونل و برداشت‌های روباز) وجود

* نویسنده مسئول، تلفن: ۰۳۱۱ ۷۹۳۲ ۱۶۲، نمبر: ۰۳۱۱ ۷۹۳۲ ۱۵۹، پست الکترونیکی: ma_mackizade@yahoo.com



شکل ۱ نقشه‌ی زمین‌شناسی منطقه‌ی زرو و نمایش موقعیت اسکارن با مقیاس ۱/۲۵۰۰۰، برگرفته از [۱].

کلسیم و آهن، آمیخته ظرفیت (mixed valence) با فرمول عمومی $\text{CaFe}^{2+}\text{Fe}^{3+}\text{Fe}^{2+}\text{Si}_2\text{O}_8(\text{OH})$ است که در سیستم راست‌گوشه یا تک میل متبلور شده است، و به عنوان کانی قهقهائی در نهشت‌های اسکارن Zn-Pb و Fe نیز اسکارن Sn-W-(Be) گزارش شده است[۳].

کانی‌شناسی و سنگ‌نگاری اسکارن - مرمر
پیروکسن‌ها بیشترین حجم کانی‌زائی را در اسکارن زرو دارند. پیروکسن در زمینه‌ی کلسیت و نیز کوارتز‌های تأخیری با بافت پرفيروblastیک در موارد محدودی حضور دارند. تجزیه‌ی پیروکسن‌های درشت به کلسیت + کوارتز، بویژه در مناطقی که گارنت وجود دارد. در کرانه‌ها و در راستای کلیواژهای پیروکسن‌ها دیده می‌شود. در این گونه دگرسانی بازمانده‌ی پیروکسن‌ها به صورت بلورهای کشیده تا سوزنی همراه کوارتز و کلسیت دیده می‌شوند. هجوم تاخیری شاره‌های سرشار از SiO_2 سبب شده است که فضای خالی بین پیروکسن‌ها با کوارتز پر شود و در موارد نایابداری پیروکسن‌ها را موجب شده است. در این گونه موارد بازمانده‌ی پیروکسن‌ها با بافت شبیه (ghost texture) دیده می‌شود.

برداشت‌های صحرایی
از دیدگاه‌های صحرایی نخست توده‌های پیروکسن سبز زیتونی رنگ است که در نظر اول جلب توجه می‌کنند. این توده‌ها به شکل رگه‌ای سنگ میزانگ شامل آهک‌های کرتاسه با تبلور مجدد و مرمری را قطع کرده‌اند، در رگه‌های ضخیم‌تر بخش‌هایی از سنگ میزانگ مرمرها مشاهده می‌شوند که به شکل ادخال‌های بزرگی در توده‌های پیروکسن (نوع هدنبرژیت) درگیر هستند. همچوالي هدنبرژیت‌ها با سنگ دیواره نیز در برخی موارد نشانگ پرشدگی حفره‌های سنگ دیواره است. پیروکسن‌ها با بافت شانه‌ای (Comb texture) عمود بر سنگ دیواره دیده می‌شوند و مناطق کانی‌سازی شده نیز در توده‌های بزرگتر به چشم می‌خورد، در حالی که گسترش گارنت در اسکارن زرو خیلی کمتر از پیروکسن است. گارنت‌های قهوه‌ای در داخل پیروکسن‌ها به شکل جانشینی دیده شده‌اند (شکل ۲). در بعضی موارد بازمانده‌ی پیروکسن‌ها مشاهده می‌شود. کانی کمیاب ایلوائیت (Ilvaite) که اولین گزارش پیدایش آن در این نقطه ایران مرکزی است [۲] به شکل بلورهای ستونی و منشوری سیاه رنگ، کشیده و طویل شده با جلای نیمه فلزی - کدر (شکل ۳) دیده می‌شود. ایلوائیت یک سیلیکات

نیز متداول است (شکل ۳ ب). ایلوائیت به شکل پرکنده‌ی فضای خالی گارنت‌ها (شکل ۳ پ) و نیز به شکل مستقل در

همراهی با کوارتز و گارنت‌ها دیده می‌شود (شکل ۳ ت). از موارد کمیاب رخداد ایلوائیت شکل‌گیری آن به صورت مستقل در کلسیت‌ها می‌باشد. به این نحو که با شکل‌های آمیبی در محل مزهای دانه‌ای کلسیت‌ها باافت چند گوشی (اتصال سه‌گانه) رشد کرده است. رخداد ایلوائیت نیز در شکستگی‌های گارنت دیده شده است. به طور کلی ایلوائیت بیشترین همیافتی را با پیروکسن‌ها نشان می‌دهد. مگنتیت در همراهی با گارنت‌ها و پیروکسن‌ها و نیز ایلوائیت (کمتر) دیده می‌شوند. این کانی پرکنده‌ی شکستگی‌های گارنت - پیروکسن را پر کرده و جانشین آن‌ها می‌شود. کالکوپیریت به مقدار کم در این همراهی‌ها دیده شده است.



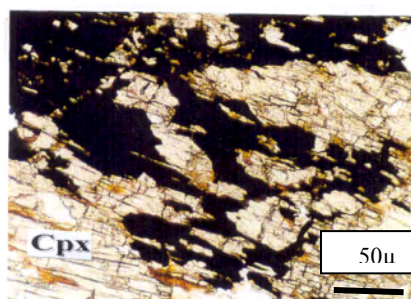
شکل ۲. ب

گارنت‌ها بیشتر همسانگرد و توده‌ای هستند و به رنگ زرد عسلی در PPL دیده می‌شوند. گارنت‌های ناهمسانگرد با ماکلهای پیچیده بیشتر نیمه شکل‌دار تا تمام شکل‌دارند. این گارنت‌ها در همراهی با پیروکسن‌های دگرسان شده، پرکنده‌ی شکاف‌ها همراه کوارتز - کلسیت و یا در حال جانشینی پیروکسن‌ها دیده می‌شوند (شکل ۳ الف). جانشینی گارنت‌ها در پیروکسن‌های منشوری شبه‌ریختی (Pseudomorph) دیده شده است. ایلوائیت به رنگ قهوه‌ای متمايل به سیاه است و پلئوکرویسم ضعیفی از قهوه‌ای زرد تا سیاه در برخی موارد نشان می‌دهد. این کانی در بیشتر موارد به حالت جانشینی در توده‌های پیروکسن و گارنت دیده می‌شود. بقایای پیروکسن و گارنت (relicts) به شکل ادخال درون ایلوائیت، این پدیده را به‌وضوح نشان می‌دهد. جانشینی تدریجی ایلوائیت در راستای رخ‌ها و شکستگی‌های پیروکسن‌ها

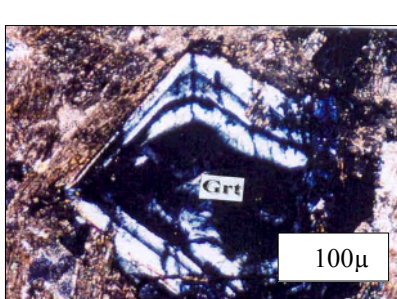


شکل ۲. الف

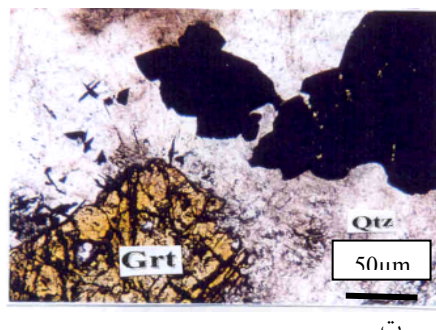
شکل ۲. الف. منطقه‌بندی پیروکسن، گارنت، کوارتز، ایلوائیت، ب. بلورهای منشوری ایلوائیت.



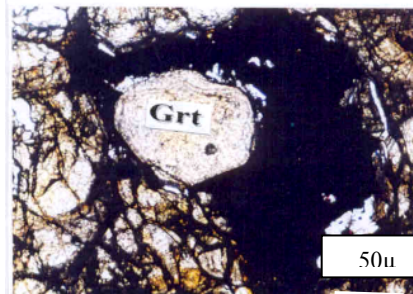
ب



الف



ت



پ

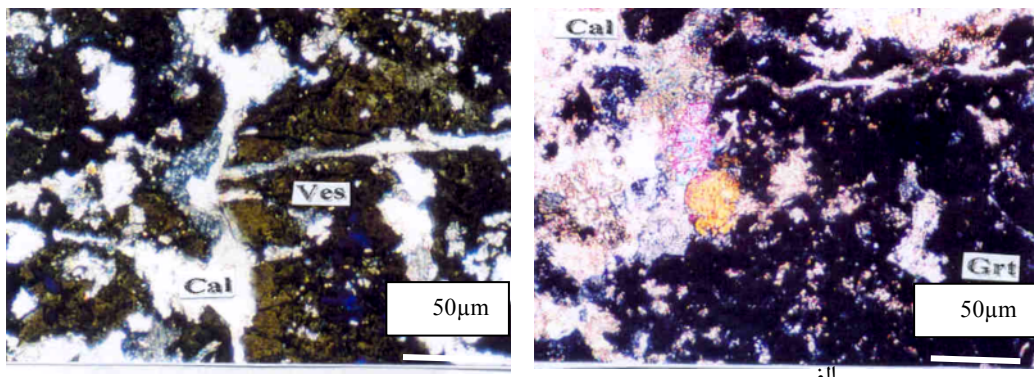
شکل ۳ الف. گارنت‌های تمام شکل دار، ناهمسانگرد و دارای ساخت منطقه‌ای در میان پیروکسن‌های دگرسان XPL. ب. جانشینی ایلوائیت در راستای رخ‌های پیروکسن PPL. پ. پرشدگی فضای بین گارنت‌ها با کوارتز و گارنت PPL.

(شکل ۴ الف). وزوویانیت‌ها با رنگ تداخلی غیر عادی در همراهی با کلسیت به طور مستقل نیز دیده شده‌اند (شکل ۴ ب).

شیمی کانی‌ها پیروکسن

برای تعیین نوع پیروکسن از آزمایش کیفی (EDS) و کمی (WDS) استفاده شد (جدول ۱). با توجه به نتایج این آزمایش‌ها پیروکسن به روشنی ترکیب هدنبرژیت را نشان می‌دهد. بر اساس نمودارهای J-Q (شکل ۵) همه پیروکسن‌ها در گستره‌ی پیروکسن‌های کلسیم - منیزیم - آهن‌دار (Quad) قرار می‌گیرند و از نوع هدنبرژیت هستند [۴].

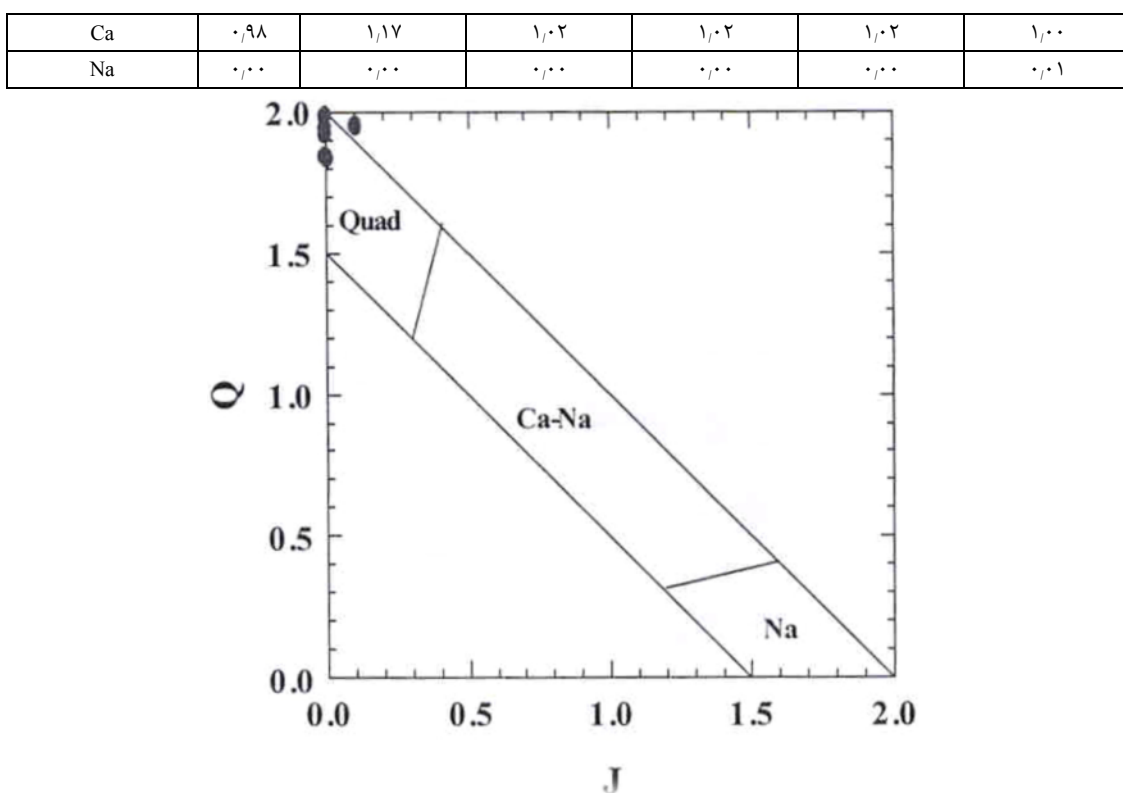
در مجاورت بلافصل اسکارن‌ها، مرمرهای خاکستری توده‌ای قرار دارند و مرمرها چون غلافی اسکارن‌ها را در بر گرفته‌اند. این مرمرها با کانی‌های کالک سیلیکات فاقد گونه‌ی کانی‌سازی فلزی مشخص هستند. بافت گرانوبلاستیک از کلسیت به تنها یا در همراهی با گارنت در آن‌ها فراوان است. گارنت‌های این مرمرها که کاملاً بی‌شكل و همسانگرددند، در همراهی با وزوویانیت نیز دیده شده‌اند که با بافت نامتعادل مشخص می‌شوند. ترمولیت و کلریت از دیگر کانی‌های این مرمرها هستند. اپیدوت نیز در زمینه‌ی کلسیت و در همراهی با گارنت‌ها دیده شود و به نظر می‌رسد که از تجزیه‌ی گارنت‌ها حاصل شده‌اند



شکل ۴ الف. همراهی اپیدوت، گارنت و کلسیت در زمینه‌ی کلسیت. ب. رشد وزوویانیت‌های بی‌شکل در زمینه‌ی کلسیت XPL.

جدول ۱ داده‌های ریز پردازش الکترونی از پیروکسن‌های اسکارن زرو.

Label (%)	3-Z	5-Z	7-Z	8-Z	14-Z	15-Z
SiO ₂	۴۹,۶۱	۴۹,۷۹	۴۹,۰۶	۴۸,۵۸	۴۸,۴۱	۴۸,۲۸
TiO ₂	۰,۰۰	۰,۰۱	۰,۰۰	۰,۰۱	۰,۰۲	۰,۰۰
Al ₂ O ₃	۰,۰۷	۰,۱۳	۰,۰۵	۰,۰۰	۰,۰۰	۰,۶۱
Cr ₂ O ₃	۰,۰۰	۰,۰۰	۰,۰۰	۰,۰۰	۰,۰۲	۰,۰۶
FeO	۲۰,۰۴	۱۵,۷	۲۴,۴۸	۲۱,۷۱	۲۲,۷۲	۲۲,۰۵
MnO	۲,۳۴	۵,۴۲	۱,۴۸	۲,۳۴	۴,۸۸	۱,۰۵
MgO	۴,۱۳	۵,۲۰	۲,۰۷	۳,۰۱	۰,۷۹	۳,۲۲
CaO	۲۲,۸۳	۲۳,۳۹	۲۳,۵۵	۲۳,۵۹	۲۳,۲۸	۲۳,۰۲
Na ₂ O	۰,۰۳	۰,۰۵	۰,۰۷	۰,۰۴	۰,۰۱	۰,۱۶
K ₂ O	۰,۰۰	۰,۰۲	۰,۰۰	۰,۰۰	۰,۰۰	۰,۰۲
Total	۹۹,۰۲	۹۹,۷۱	۱۰۰,۷۶	۹۹,۰۹	۱۰۰,۳	۹۹,۴۷
Label (ppm)	کاتیون‌ها بر پایه شش اکسیژن					
Si	۲	۲,۳۴	۱,۹۸	۱,۹۷	۱,۹۸	۱,۹۶
Ti	۰,۰۰	۰,۰۰	۰,۰۰	۰,۰۰	۰,۰۰	۰,۰۰
Al	۰,۰۰	۰,۰۱	۰,۰۰	۰,۰۰	۰,۰۰	۰,۰۳
Fe ²⁺	۰,۶۷	۰,۶۱	۰,۸۲	۰,۷۳	۰,۷۷	۰,۷۸
Mn	۰,۰۸	۰,۲۱	۰,۰۵	۰,۱۰	۰,۱۷	۰,۰۴
Mg	۰,۲۵	۰,۳۶	۰,۱۲	۰,۱۸	۰,۰۵	۰,۱۰



شکل ۵ نمودار J-Q برپایه داده‌های تجزیه پیروکسن‌های زرو [۴].

بررسی منطقه‌بندی نوسانی در گارنت‌های گروه اوگراندیت می‌تواند راهنمایی برای شناخت سامانه‌ی تشکیل اسکارن باشد [۵، ۶]. بررسی‌های انجام شده بر روی همیافتی کانی‌ها و ادخال‌های درگیر گارنت‌های با منطقه‌بندی نوسانی در اسکارن‌ها، نشان داده است که دمای تشکیل مرکز هسته و حاشیه‌ی بلور گارنت شبیه به یکدیگرند، لذا دما نمی‌تواند عامل ایجاد چنین پدیده‌ای در هنگام رشد گارنت‌ها باشد [۴]. در مورد شکل‌گیری گارنت‌های حاوی منطقه‌بندی علل زیر را می‌توان بیان کرد:

(الف) جنبش‌های گسلی به‌ویژه حرکت‌های مستمر و ضربانی (palsic fault movements) این جنبش‌ها می‌توانند سبب تغییر دوره‌ای فشار بر سامانه‌های گرمایی شوند. این تغییرات دوره‌ای احتمالاً می‌توانند با جوشش و اکسایش دوره‌ای گرمایی و نهشت دوره‌ای آندرادیت - گروسولار همراه باشد [۷].

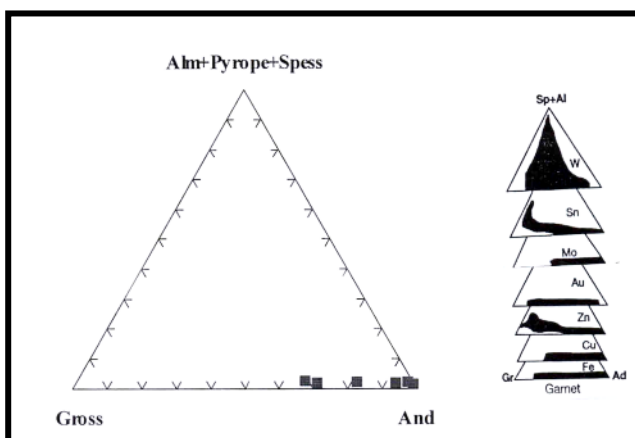
(ب) شکل‌گیری سلول‌های همرفت (convection cells) از گردش آب‌های جوی در پیرامون توده‌های نفوذی و مشارکت

گارنت

تجزیه‌ی EDS بر گارنت‌های منطقه زرو نیز ترکیب آندرادیتی را نشان می‌دهد (شکل ۶). تجزیه‌ی WDS گارنت‌ها و محاسبه‌ی اعضا پایانی آن‌ها در جدول ۲ آمده‌اند. شکل ۷ نیز تصویر BSE یک بلور گارنت با ساختار منطقه‌ای را نشان می‌دهد. این بلور در بخش انتقالی پیروکسن به گارنت در اثر جانشینی شکل گرفته است. افزایش درجه‌ی سفیدی در تصویر BSE بلور نشانی از افزایش عضو انتهایی آندرادیت در سری محلول جامد گروسولار - آندرادیت و برعکس کاهش درجه‌ی سفیدی نشانگر افزایش عضو انتهایی گروسولار در سری محلول جامد است. نگاهی به الگوی تغییرات عناصر Al و Ca، Fe به عنوان همنه‌های اصلی گارنت (شکل ۸) تغییرات اندک نوسانی (oscillatory) را نشان می‌دهد. به‌نظر می‌رسد که بیهنجاری‌های عمده در قله‌ها به حضور ادخال یا حفره‌های ایجاد شده هنگام آماده سازی نمونه ارتباط داشته باشد.

جوی سطحی زمین هستند، لذا تغییرات دوره‌ای آن‌ها می‌تواند به این نحو بر سامانه‌های گرمابی اثر بگذارد.

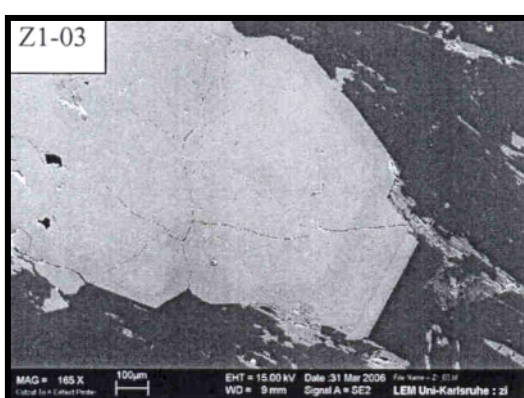
این آب‌ها در سامانه‌های گرمابی می‌تواند باعث تغییراتی در ویژگی‌های فیزیکو-شیمیایی شاره‌های (Eh, pH و دما) آن سامانه‌ها شود. از آنجا که این آب‌های بیگانه متأثر از شرایط



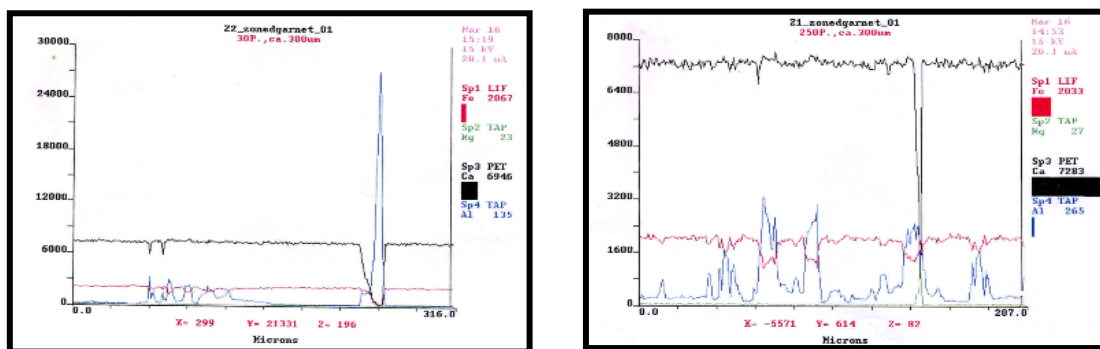
شکل ۶ نمودار توزیع تجزیه‌های ریز پردازش الکترونی گارنت‌های زرو، و مقایسه آنها با ترکیب گارنت‌های اسکارن بر نمودارهای جهانی [۸].

جدول ۲ داده‌های تجزیه ریز پردازش الکترونی گارنت و محاسبه‌ی فرمول ساختاری براساس ۲۴ اکسیژن.

Label (%)	۹	۱۰	۱۱	۱۲	۱۳	۱۷
SiO ₂	۳۷,۷۳	۳۵,۴۹	۳۵,۵۴	۳۶,۶۳	۳۵,۴۱	۳۵,۴۶
TiO ₂	۰,۰۲	۰,۰۲	۰,۰۰	۰,۲۷	۰,۰۱	۰,۰۳
Al ₂ O ₃	۱,۱۰	۰,۳۳	۲,۴۲	۷,۴۹	۵,۲۳	۰,۷۰
FeO	۲۸,۱۱	۲۲,۲۴	۲۶,۵۶	۱۹,۷۴	۲۳,۵۳	۲۸,۷۲
MnO	۰,۴۴	۰,۵۶	۰,۶۴	۰,۹۵	۰,۶۹	۰,۵۱
MgO	۰,۰۲	۰,۰۲	۰,۰۰	۰,۰۰	۰,۰۰	۰,۱۰
CaO	۳۴,۵۰	۳۴,۷۸	۳۷,۷۸	۳۴,۸۹	۳۵,۰۹	۳۴,۴۳
Total	۹۹,۹۸	۹۹,۹۷	۹۹,۹۹	۹۹,۹۹	۹۹,۹۹	۹۹,۷۸
Label (ppm)	کاتیون‌ها بر پایه ۲۴ اکسیژن					
Si	۶۳۸	۶۳۷	۶۳۳	۶۲۱	۶۱۶	۶۲۶
Ti	۰,۰۱	۰,۰۰	۰,۰۰	۰,۰۲	۰,۰۰	۰,۰۰
Al	۰,۲۳	۰,۰۶	۰,۵۰	۱,۴۹	۱,۰۷	۰,۲۱
Fe ²⁺	۴,۱۸	۴,۳۷	۳,۹۲	۲,۷۹	۲,۴۰	۴,۲۷
Mn	۰,۰۶	۰,۰۱	۰,۰۹	۰,۱۴	۰,۱۰	۰,۷۶
Mg	۰,۰۵	۰,۰۰	۰,۰۰	۰,۰۰	۰,۰۰	۰,۰۰
Ca	۶۶۰	۶۶۸	۶۶۰	۶۳۴	۶۵۴	۶۵۹



شکل ۷ تصویر BSE نمونه گارنت در زمینه‌ی کانی‌های سیلیکاتی دیگر با ساختار منطقه‌ای ضعیف.



شکل ۸ الگوی منطقه‌بندی نوسانی در گارنت‌های زرو. ریز پردازش الکترونی روبشی از راست (هسته) به چپ (حاشیه) انجام گرفته است.

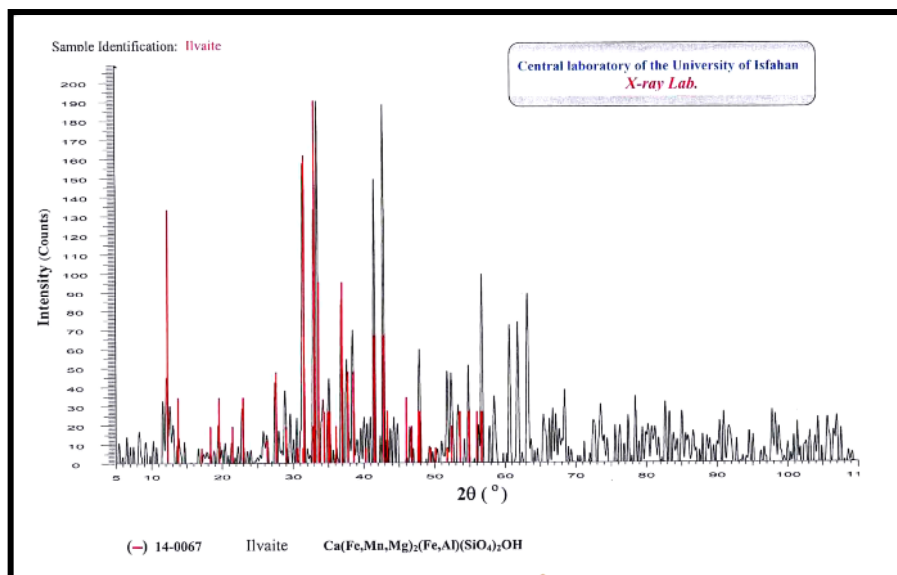
(هدنبرژیت) می‌باشد. در ادامه از تجزیه نقطه‌ای دو نمونه ایلوائیت برای محاسبه‌ی فرمول ساختاری این کانی بربایه ۸/۵ اکسیژن استفاده شده است (جدول ۳). تجزیه نمونه‌ی ایلوائیت برزیل [۶] نیز در جدول ۳ برای مقایسه آمده است.

مگنتیت، کانه مس

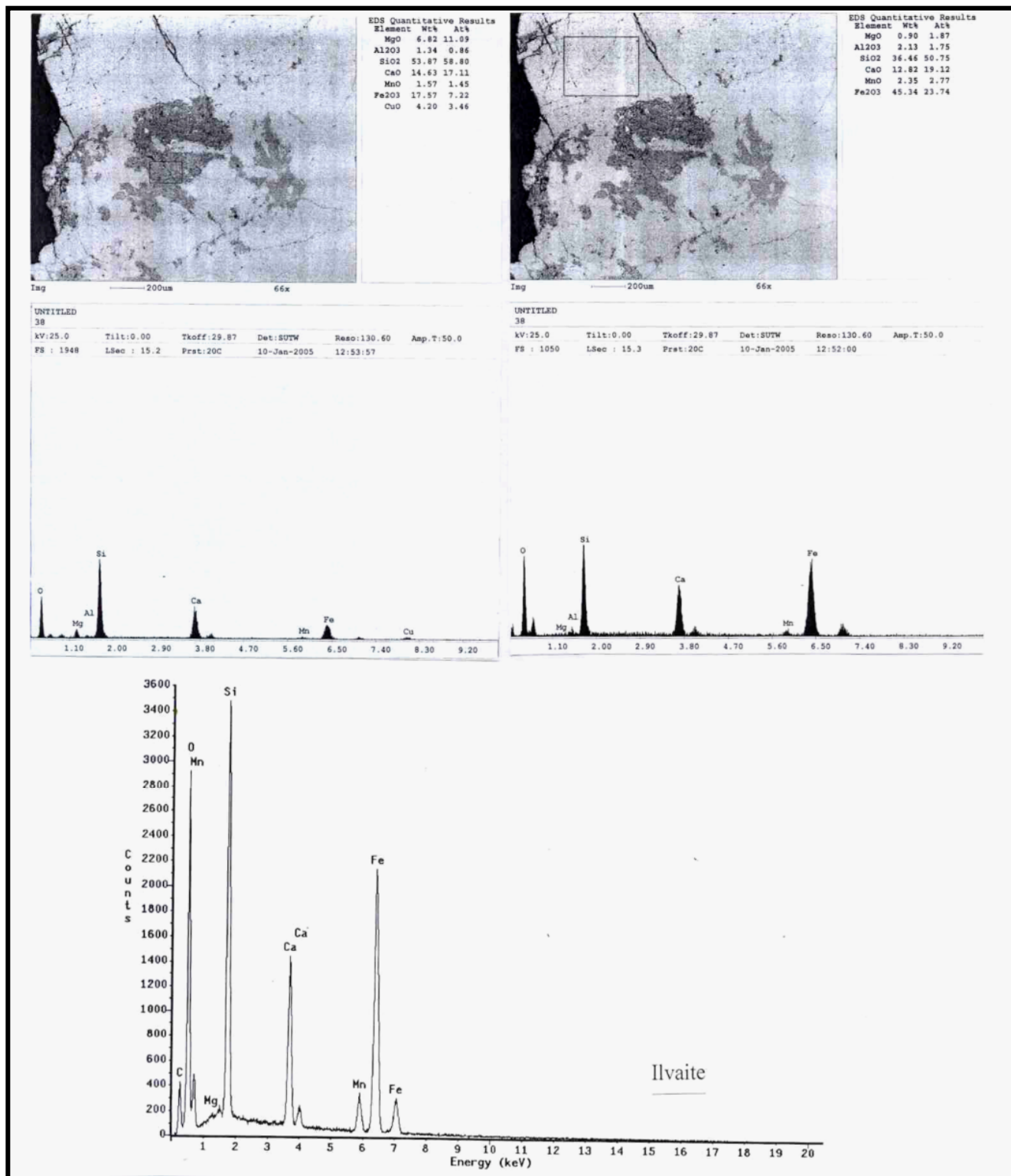
پس از مشاهدات میکروسکوپی این کانی‌ها، تجزیه‌های EDS در همراهی با گارنت‌های آندرادیتی و پیروکسن‌ها مورد بررسی قرار گرفتند (شکل ۱۱). تجزیه‌ی نمونه‌ی ایلوائیت کاملاً با کانی‌سازی شده فلزی اسکارن مقدار Fe_2O_3 را تا $۳۰/۷۲\%$ و Cu را تا $۳۵/۳۶\%$ ppm نشان داده است. این مقدار مس تأییدی بر وجود کالکوپیریت (مشاهده شده در مقاطع صیقلی) است.

ایلوائیت

بلورهای منشوری سیاه رنگ ایلوائیت در زرو شاخص این کانی کمیاب هستند که اولین دستیابی به آن در ایران مرکزی یا سراسر ایران (?) است. برای شناسایی این کانی از تجزیه‌های دستگاهی کمک گرفته شد. پراش سنجی پرتو X نخستین گام برای اثبات وجود ایلوائیت در اسکارن زرو است. چنانکه دیده می‌شود (شکل ۹) الگوی پراش نمونه‌ی خالص ایلوائیت کاملاً با نمونه پراش مرجع همخوانی دارد. برای بررسی بیشتر این کانی از جداسازی انرژی (EDS) به وسیله‌ی EPMA کمک گرفته شد. روش EDS برای آنالیز کیفی سریع بسیار مناسب است. تجزیه و تصویر نمونه ایلوائیت توده‌ای با ادخال تحلیل رفتہ پیروکسن در آن دیده می‌شود (شکل ۱۰). همه‌ی این تجزیه‌ها نزدیک به ترکیب شیمیایی آرمانی ایلوائیت و پیروکسن



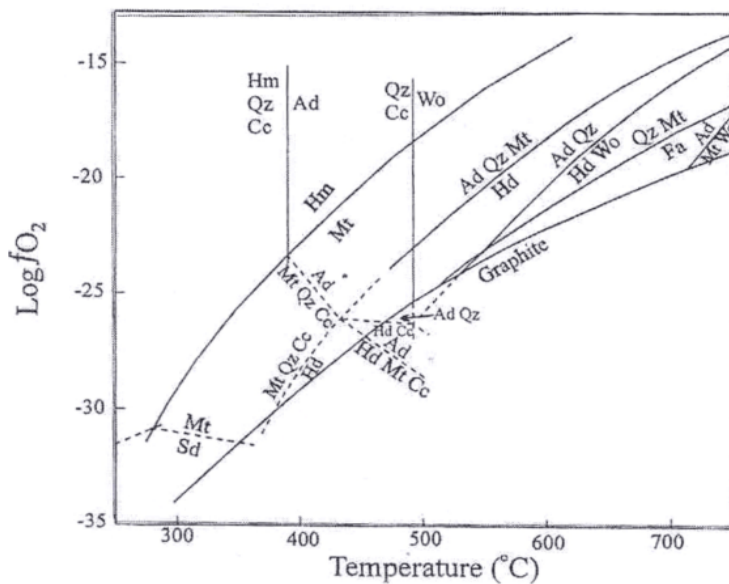
شکل ۹ الگوی پراش پرتو X نمونه ایلوئیت خالص و مقایسه آن با نمونه مرجع.



شکل ۱۰ تصویر BSE از ایلوائیت (خاکستری روشن) با ادخال پیروکسن (خاکستری تیره) و تجزیه‌های EDS آن‌ها.

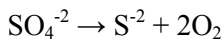
جدول ۳ داده‌های ریز پردازشی از دو نمونه ایلوائیت زرو (۱ و ۲) و مقایسه‌ی آن با نمونه‌ی ایلوائیت کانسار Cu-Au، ایگاراپه باهیا، بربازیل [۹] (Core , Rime)

Label (%)	Core	Rime	۱	۲
SiO ₂	۲۹,۰۲	۲۹,۴۷	۲۸,۹۹	۲۸,۹۶
TiO ₂	۰,۰۸	۰,۰۱	۰,۰۳	۰,۰۰
Al ₂ O ₃	۰,۰۱	۰,۰۰	۰,۷۹	۰,۹۵
FeO	۵۳,۹۴	۵۳,۹۸	۴۹,۳۵	۴۶,۷۹
MgO	۰,۱۱	۰,۱۰	۰,۱۱	۰,۰۸
CaO	۱۲,۷۳	۱۳,۱۳	۱۳,۹	۱۳,۳۶
MnO	۰,۹۷	۱,۰۱	۲,۸۱	۵,۴۵
Na ₂ O	۰,۰۰	۰,۰۰	۰,۰۱	۰,۰۶
K ₂ O	۰,۰۰	۰,۰۰	۰,۰۰	۰,۰۱
Total			۹۶	۹۵,۶۵
کاتیون بر پایه ۸,۵ اکسیزن				
Si	۱,۹۸	۲,۰۱	۲,۰۸	۲,۰۹
Ti	۰,۰۰	۰,۰۰	۰,۰۱	۰,۰۰
Al	۰,۰۰	۱,۰۰	۰,۰۶	۰,۰۸
Fe ²⁺	۲,۹۶	۱,۹۶	۲,۹۵	۲,۸۲
Mg	۰,۰۱	۰,۰۱	۰,۰۱	۰,۰۰
Ca	۱,۰۰	۰,۹۶	۱,۰۶	۱,۰۳
Mn	۰,۰۶	۰,۰۰۰,۰۶	۰,۱۷	۰,۳۲
Na	۰,۰۰	۰,۰۰	۰,۰۰	۰,۰۱
K	۰,۰۰	۰,۰۰	۰,۰۰	۰,۰۰

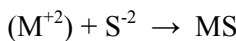


شکل ۱۱ نمودار روابط فازی $\text{Log fO}_2\text{-T}$ در $\text{XCO}_2 = 0.1$ و فشار ۵۰۰ بار برای سامانه‌ی Ca-Fe-Si-C-O-H .^[۳]

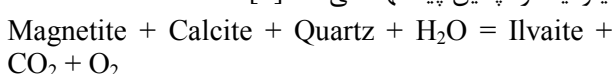
احیاء‌سازی این شاره با مجموعه کلینوپیروکسن - گارنت در اسکارن انجام می‌گیرد و این همه به علت توانایی اکسیژن‌زائی سازه‌ی هدنبرژیت پیروکسن‌ها در مواجه با شاره‌های کانه‌ساز است. با فرض ثابت بودن دما، pH و میزان کل سولفید حل شده در محلول، حلایت کانی‌های سولفیدی فلزات پایه در محیط احیاء نسبت به محیط اکسایش پایین می‌آید. بنابراین کانی‌های سولفیدی می‌توانند به خوبی در مرز محیط‌های احیاء و اکسایش نهشته شوند:



در نتیجه یون احیائی S^{2-} با کاتیون‌های فلزی دو ظرفیتی (M) از جمله $\text{Cu}, \text{Zn}, \text{Pb}$ وارد واکنش شده و کانی‌های سولفیدی را خواهد ساخت.

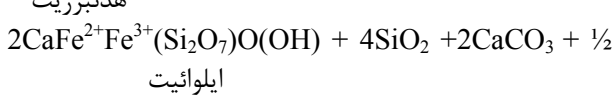
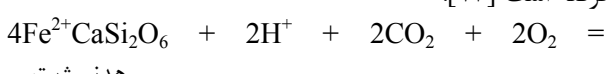


بر اساس مشاهدات حاضر و همخوانی آن با نتایج بررسی‌های تجربی به طور کلی تشکیل کانه سولفیدی مس در اسکارن زرو را در ارتباط با واکنش‌های اکسایش - احیاء از نوع فوق است. حضور نفوذی‌های مگنتیت در و یا همراه با ایلوائیت و نیز همراهی پاراژنتیکی کوارتز و کلسیت واکنش شکل‌گیری ایلوائیت را چنین پیشنهاد می‌کند [۹]:



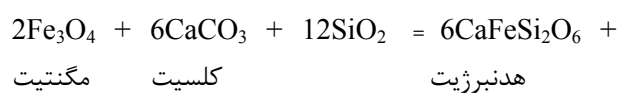
بررسی‌های کانی‌شناسی نمونه‌های اسکارنی زرو نشان می‌دهد که شکل‌گیری ایلوائیت به بهای پیروکسن‌ها با بررسی‌های سنگ‌شناختی در زرو انجام شده است. چگونگی و کم و کیف این واکنش‌ها توسط چند پژوهشگران در اسکارن‌های مختلف نیز پیشنهاد شده است:

(الف) ایلوائیت هنگام دگرسانی قهقرائی با واکنش زیر شکل گرفته است [۱۳]:

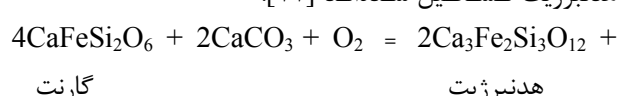


واکنش‌های دگرگونی و سنگ‌زایی

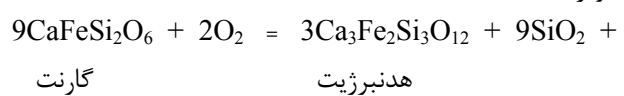
بر اساس قوانین فاز، حصول تعادل در سنگ‌های دگرگون در نقاط T_{\max} یعنی در بالاترین شرایط دگرگونی امکان‌پذیر است، لذا در اینجا با توجه به فاکتورهای کنترل شرایط تعادل در دگرگونی مناطق مورد بررسی می‌توان درنظر گرفت که در اوج دگرگونی تأثیر شاره‌های جریان یافته حاوی Fe_2O_3 و SiO_2 بر سنگ‌های آهکی منجر به پیدایش هدنبرژیت در اسکارن‌های دگرگونهای شده است [۱۰].



کلسیت مگنتیت از آنجا که فروپاشی پیروکسن به کلسیت، کوارتز و مگنتیت (کم) در نمونه‌های میکروسکوپی آشکار است. لذا واکنش فوق در گام‌های پسین به شکل برگشت نیز در اسکارن زرو رخ داده است. با افزایش فوگاسیته اکسیژن به صورت محلی در بخش‌های غنی از پیروکسن، گارنت‌های آندرادیتی به بهای هدنبرژیت تشکیل شده‌اند [۱۱].



هدنبرژیت بررسی‌های تجربی [۱۲]. نشان داده است که اکسیژن می‌تواند در سازه‌ی $\text{CaFeSi}_2\text{O}_6$ کلینوپیروکسن نقش تپانه را بازی کرده و بنابر واکنش زیر در پیدایش آندرادیت‌های اسکارن زرو مؤثر باشد.

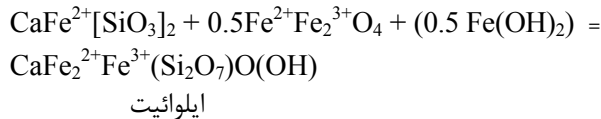


هدنبرژیت این واکنش می‌تواند همراهی مگنتیت با گارنت و پیروکسن را، هرچند به شکل تأخیری، توجیه کند. همیافتدی کانه‌های سولفیدی در مجموعه‌ی گارنت - پیروکسن زرو هرچند اندک از این رهگذر قابل توجیه است، برای تشکیل کانی‌های سولفیدی می‌باشد شاره‌های کانه‌ساز به حالت احیاء برسد. کار

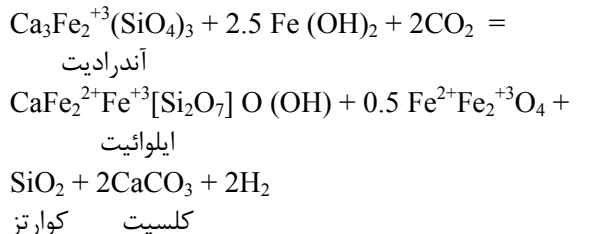
برای تعیین شرایط احتمالی P-T-X می‌توان سامانه‌ی Ca-Fe-Si-C-O-H را در نظر گرفت، چرا که همه‌ی کانی‌های مورد بررسی در این سامانه جای می‌گیرند [۳]. این نمودار برپایه‌ی ۰.۵ کیلوبار فشار و $XCO_2 = 0.1$ بنا شده است که ممکن است دقیقاً همان شرایط اسکارن زرو نباشد. ولی وجود سنگ میزبان آهکی ($XCO_2 \sim 0.1$) و نیز شکل‌گیری اسکارن در شکاف‌ها و فضاهای خالی سنگ آهک دور از توده‌های عمیق (فشار کم) تا حدودی با شرایط در نظر گرفته شده همخوانی دارد.

هدنبرژیت در مقایسه با فراورده‌های دگرسانی خود در fO_2 پایین‌تر پایدار است و در دماهای بالاتر از $385-430^{\circ}C$ با آندرادیت + کوارتز + کلسیت، بسته به اندازه‌ی fO_2 ، و در دماهای پایین‌تر با کلسیت + کوارتز + مگنتیت جانشین شده است. در اسکارن زرو واکنش‌های برگشتی اخیر از طریق روابط کانیائی میکروسکوپی به روشنی دیده شده است. لذا دمای این گونه دگرسانی را می‌توان در حدود $400^{\circ}C$ در نظر گرفت. آندرادیت گسترده‌ی پایداری گسترده‌ای را از $400^{\circ}C$ تا $700^{\circ}C$ و -25 تا -15 Log $fO_2 = -$ می‌نماید (شکل ۱۱). آندرادیت با مجموعه‌ی ولاستونیت + هدنبرژیت در $T > 550^{\circ}C$ (بسته به fO_2) در حضور کوارتز جانشین می‌شود. از آنجا که چنین دگرسانی‌هایی در زرو دیده نشده است پیشنهاد بر این است که دمای تشکیل کمتر از $550^{\circ}C$ بوده است. در مورد پیدایش ایلوائیت که کانی ویژه زرو است، به بررسی‌های [۱۵] گوستاوsson می‌توان اشاره کرد. پژوهش‌های نامبرده و دیگران [۱۶] نشان داده است که در فشار بالای شاره‌ی ایلوائیت در دمای تقریبی زیر $470^{\circ}C$ و در گسترده‌ی FO_2 پایدار است (شکل ۱۲). در تأیید این گسترده‌ی دمایی، با استفاده از زمین-دماسنجی کلریت، دمای 300 تا $350^{\circ}C$ نیز به دست آمده است [۹].

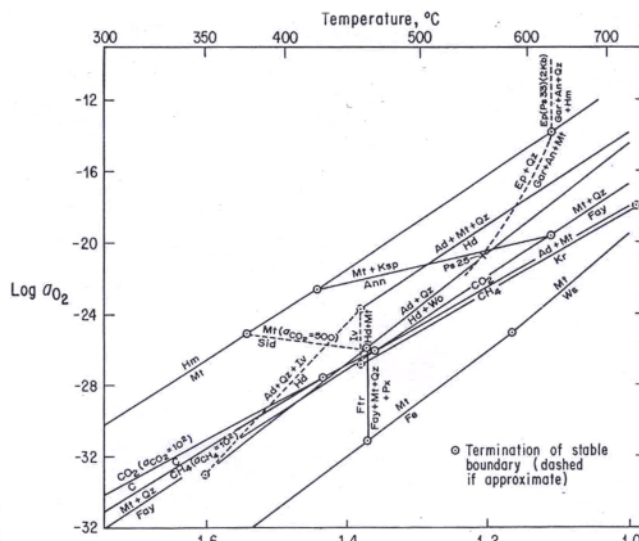
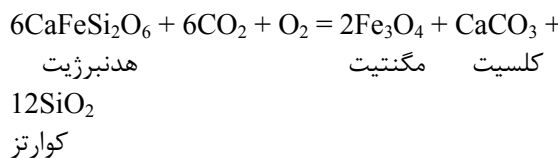
ب) الکساندرف [۱۴] واکنش زیر را برای تشکیل ایلوائیت به خرج هدنبرژیت به جای مگنتیت در شرایط اکسایشی‌تر ضمن افزایش دما پیشنهاد کرده است:



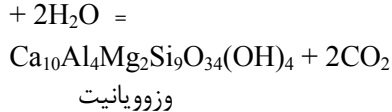
بر اساس این بررسی‌های و با توجه به موقعیت کانی ایلوائیت در نمونه‌های اسکارنی زرو چنین به نظر می‌رسد که پیدایش ایلوائیت به بهای گارنت‌ها نیز بوده است. لذا واکنش زیر را می‌توان پیشنهاد کرد:



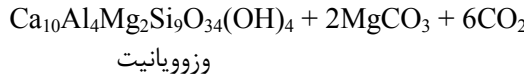
واکنش‌های انجام یافته در مرحله‌ی پیشرونده اسکارن (تشکیل پیروکسن و گارنت) CO_2 به وجود آمده است. واکنش‌های بالا از نوع کربن‌زادی (Decarbonation) هستند [۱۴]. می‌دانیم XCO_2 اضافی در واکنش‌های بازگشتی (retrograde) شرکت کرده است. آن گونه که مشاهده شد، برخی از واکنش‌های شکل‌گیری ایلوائیت CO_2 مصرف کرده‌اند. از طرفی در برش‌های میکروسکوپی به روشنی تجزیه‌ی پیروکسن‌ها به کلسیت و کوارتز به صورت بخشی یا کامل دیده می‌شود. پس می‌توان گفت که در گام تاخیری دگرگونی مجاورتی عمل رقیق شدن یا خروج CO_2 به خوبی انجام نگرفته است و واکنش بازگشتی زیر برای تجزیه پیروکسن‌ها به سازه‌های اولیه (آن گونه که در برش‌های میکروسکوپی دیده می‌شود) قابل تصور است:



شکل ۱۲ نمودار گستره‌ی پایداری کانی‌های مختلف در ارتباط با فشار مؤثر اکسیژن [۱۲]. $\text{PH}_2\text{O} = 1 \text{ kb}$ برای واکنش‌هایی که حاوی کانی‌های آبدار (به غیر از اپیدوت) هستند.

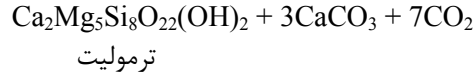
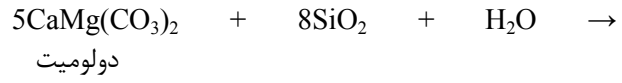


در برگرفته شدن بخشی گارنت با وزوویانیت و محو شدن گارنت‌های درون وزوویانیت می‌تواند نمایانگر واکنش پیشنهادی زیر باشد:



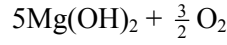
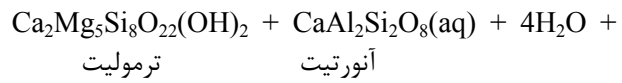
روابط پاراژنتیکی این مجموعه روی نمودارهای ACF و CMS- HC نشان داده شده است (شکل ۱۳). چنانکه در شکل ۱۴ دیده می‌شود، ترمولیت در فاصله دمایی باریکی (تقریباً 80°C با دمای بیشینه 540°C پایدار است [۱۵]. بررسی‌های تجربی [۱۶] شرایط پایداری وزوویانیت را در فشار ثابت ۲ کیلوبار، دمای 420°C تا 475°C در XCO_2 پایین دانسته‌اند. لذا گستره‌ی دمایی تشکیل مجموعه غالب مرمرها در گستره‌ی دمایی 420°C تا 540°C در نظر گرفته می‌شود. مجموعه‌ی دیگری نیز در شرایط دمایی پایین‌تری شکل گرفته است. مجموعه‌ی کلسیت + گارنت + کلریت + اپیدوت نیز در مرمرها حضور دارد (شکل ۱۵). به عقیده‌ی شلی [۱۷] ناخالصی‌هایی از سیلیکات‌های کانی‌های در مرمرهای کلسیتی و دولومیتی منجر به پیدایش کانی‌های آلومینیم‌دار اپیدوت و گارنت غنی از کلسیم در رخساره‌ی شیست سبز می‌شود.

مرمرهای مجاور اسکارن‌های زرو دارای مجموعه‌ی غالب ترمولیت + گارنت + وزوویانیت + کلسیت + کوارتز هستند. به نظر می‌رسد که معمول‌ترین روش تشکیل ترمولیت واکنش زیر باشد [۱۱].

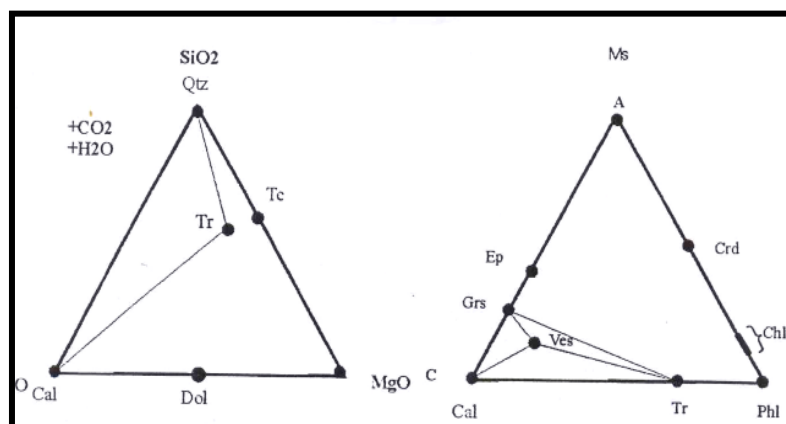


بوخر و فری [۱۵] با دو واکنش تشکیل ترمولیت را به بهای دیوپسید و تالک معرفی کرده‌اند. از آنجا که در مقاطع مرمرها آثاری یا بازمانده‌ی تجزیه نشده‌ای (relict) از این کانی‌ها دیده نشده، به نظر می‌رسد که ترمولیت‌ها با توجه به شواهد میکروسکوپی به طور آزاد شکل گرفته‌اند.

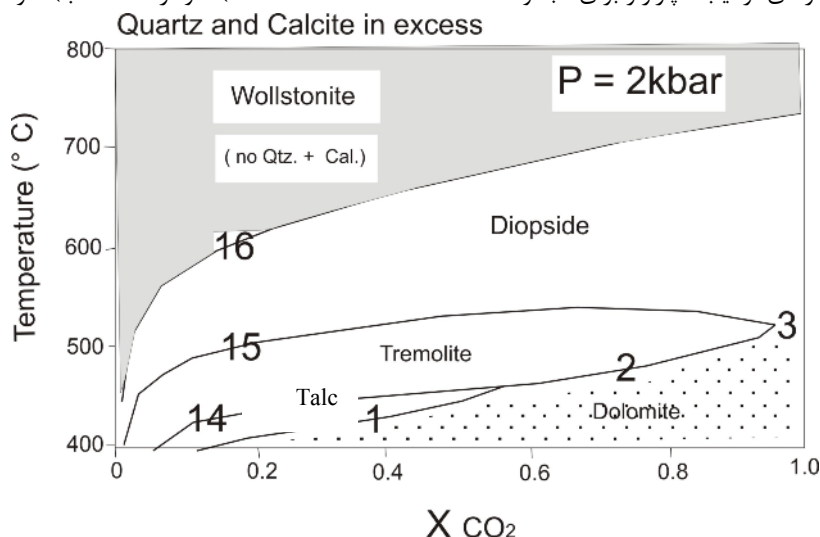
وجود گارنت در این مجموعه به صورت مستقل و نیز جانشینی محدود ترمولیت دیده شده است. با فرض تأمین Al مورد نیاز با بسته‌های ساختاری آنورتیت ($\text{CaAl}_2\text{Si}_2\text{O}_8$) و یا کلوئیدی در شاره می‌توان واکنش زیر را پیشنهاد کرد. وجود شبح ترمولیت (ghost texture) در برخی از گارنت‌های همسانگرد، پشتیبان این واکنش است:



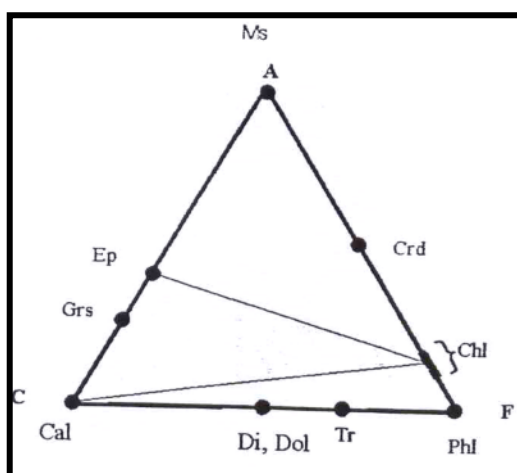
شکل گیری وزوویانیت در این مجموعه از طریق مستقل در زمینه‌ی مرمر و نیز به بهای گارنت‌ها (جانشینی) رخ داده است:



شکل ۱۳ نمودارهای ترکیب - پاراژنز برای مجموعه CMS-HC (الف) نمودار ACF ، ب) نمودار



شکل ۱۴ نمودار روابط فازی موجود در مرمرهای کالک سیلیکات حاوی کوارتز و کلسیت اضافی، تحت فشار ثابت دو کیلو بار (حاله‌های دگرگونی مجاورتی) [۱۵].



شکل ۱۵ نمودار ترکیب - پاراژنز برای مجموعه .Chl + Ep + Gr + Cal

مرکزی) با آنکه نشانی از حضور یا عدمکرد توده‌ی نفوذی در گستره‌ی اسکارن‌سازی در دسترس نیست، ولی احتمالاً توده در زیر منطقه‌ی اسکارن قرار دارد. لذا زرو را یک اسکارن دور از

برداشت توده‌ی اسکارن زرو از دیدگاه رخداد صحرایی قابل اهمیت است. برخلاف اسکارن‌های کلاسیک مشاهده شده (حدائق در ایران

- [1] عمیدی س.م، "نقشه زمین‌شناسی آباده"، مقیاس ۱:۲۵۰/۰۰۰ سازمان زمین‌شناسی کشور، ۱۹۸۳.
- [2] Rahgoshay M., Noorbehesht I., Daliran F., Mackizadeh M. A., "First occurrences of ilvaite from central Iran skarns, Berichte der Deutschen Min. Ges.", Beih. Z. Eur. J. Mineral., 16, 1, 2004, p. 111.
- [3] Einaudi M. T., Meinert L. D., Newberry R. J., "Skarn deposits. In Econ. Geol". 75th Anniv. Econ. Geo. Publ. Co, (ed. B. J. Skinner), 1981, p. 317-391.
- [4] Morimoto N., Chairman B., "Nomenculture of pyroxens. Subcommitee on pyroxens", International Mineralogical Association. Con. Mineral. 27, 1989, p. 143-156.
- [5] Jamtveit B., "Oscillatory Zonation patterns in hydrothermal grossular-andradite garnet", Nonlinear behavior in regions of immiscibility, Am. Min., 76, 1991, p. 1319-1327.
- [6] Clechenko C. C., Valley J. W., "Oscillatory Zoning in garnet from the Willsboro wollastonite Skarn", Adirondack Mts, New York: a record of shallow hydrothermal processes preserved in a granulite facies terrane, J. Metam. Geol., 21, 2003, p. 771-784.
- [7] Jamtveit B., Wogelius R. A., Fraser D. G., "Zonation patterns of skarn garnets", records of hydrothermal system evolution, Geo., 21, 1993, p. 113-116.
- [8] Meinert l. D., "Skarns and skarn deposits", Geoscience Canada, v. 19, 1992, P. 145-162.
- [9] Tallarico F. H. B., "Occurrence of ilvaite in the Igarape Bahia Cu-Au deposit", Carajas province, Brazil Revista Brasileira de Geociencias, 32, 1, 2002, p. 142-152.
- [10] Deer W.A., Howie R.A., zussman J., "An introduction to the rock forming minerals", seventeenth impression, Longman , 1991, 528p.
- [11] Klein C., Hurlbut C. S., "Manual of Mineralogy", 21st edn, Wiley, New York, 1993, 681 p.
- [12] Rose A. W., Burt D. M., "Hydrothermal alteration In H. L. Barnes, Ed.", Geochemistry of Hydrothermal ore Deposits, John wiley and sons, 1979, P. 173-235.
- [13] Logan M. A., "Mineralogy and geochemistry of the Gualilan skarn deposit in the Precordillera of western Argentina", Ore Geology Reviews 17, 2000, p. 113-138.

توده‌ی نفوذی و مستقل (Distal) در نظر می‌گیریم. چگونگی شکل‌گیری کالک سیلیکات‌های در رخنمون صحرایی نوعی پرشدگی ساده‌ی شکستگی‌ها و شکاف‌های سنگ‌های آهکی به وسیله‌ی نهشت شاره‌های داغ را تداعی می‌کند. همچوای بسیار روشن و ناگهانی کالک سیلیکات‌های اسکارن (با کرانه‌های نسبتاً نامنظم) با سنگ دیواره، گواه این پدیده است. در محل همچوای هیچ مرز تدریجی دیده نشده است. لذا منطقی است که این گونه اسکارن‌ها را از دیدگاه ریخت‌شناسی و چگونگی جای‌گیری اسکارن‌های پرشه‌ی نوع کارستی (Karst type filling skarns) بنامیم.

مشاهدات ما از اینگونه جای‌گیری اسکارن در نقاط دیگر نوار ماقمایسم سنجوزئیک ایران مرکزی شامل شمال غربی اصفهان (کامو - میمه) نیز چنین نشان داده است. در این منطقه کانی‌زایی گارنت - مگنتیت به روشنی در محل و در راستای مناطق خرد شده‌ی گسلی و قابل نفوذ سنگ‌های آهکی کرتاسه انجام گرفته است. به طوری که پس از نفوذ شاره‌ها و کانی‌سازی ساخت برشی سنگ‌های آهکی اولیه هنوز در توده‌ی اسکارن دیده می‌شود.

برپایه داده‌های کانی‌شناختی، اسکارن زرو نیز یک اسکارن چند زادی است. دنباله‌ی تشکیل کانی‌ها در اسکارن و مرمرهای زرو را می‌توان نشان داد. چنانکه دیده می‌شود در اوج تاثیر شاره (گام پیشرونده) نخست پیروکسن‌ها تشکیل شده‌اند و در گام بعد کانی‌سازی گارنت به دنبال پیروکسن‌ها به بهای آن‌ها و یا به طور مستقل انجام گرفته است. تاثیر شاره‌های حاوی آب زیاد همراه با کاهش دما در گام دگرگونی پس رونده پاراژنزهای آبدار را پدید آورده است.

قدرتانی

نویسنده‌گان این مقاله از حمایت‌های مالی دانشگاه شهید بهشتی و دانشگاه شیراز برای این کار پژوهشی تشکر می‌کنند. همچنین لازم است از سرکار خانم دکتر فرحتاز دلیران (دانشگاه فنی کالسروهه آلمان) و آقای دکتر خلیلی از گروه زمین‌شناسی اصفهان (به دلیل انجام آنالیزهای EDS در دانشگاه اکلاهماستی آمریکا) قدردانی نماییم.

مراجع

[14] Guggenheim S., "The brittle micas, In *Micas* (Baily, S. W., ed.) *Mineralogical Society of America*", Review in mineralogy, 13, 1984, p. 61-101.

[۱۵] بخر، کورت و فری، مارتین، ۱۹۹۴ "پتروژنر سنگ‌های دگرگونی"، ترجمه ولی‌زاده، محمد ولی و صادقیان محمود. ۱۳۷۹، انتشارات دانشگاه تهران.

[16] Plyusnina L. P., Likhoidov G., "Vesuvianite stability in water and water-carbon dioxide fluids, Russian Academy of Sciences", Geochemistry, in-Russian, 5, p. 1993, 644-654.

[17] Shelly D., "Igneous and metamorphic rocks under the Microscope". Chapman and Hall, London, 1993, 445p.